Elettromagnetismo

Prof. Francesco Ragusa Università degli Studi di Milano

Lezione n. 24 - 13.03.2023

Potenziale di una spira Forze sui dipoli magnetici Energia potenziale del dipolo

- Calcoliamo infine il potenziale vettore di una spira
 - Facciamo un calcolo utile per il futuro del nostro studio
 - Una formula approssimata per distanze grandi dal centro della spira
 - Analogo alla forma del dipolo elettrico
 - Sarà utile nello studio dei campi magnetici nella materia
 - Utilizziamo una derivazione matematica utilizzando i vettori

$$\mathbf{A}\left(\mathbf{r}\right)=\frac{\mu_{0}}{4\pi}I\oint_{C}\frac{d\mathbf{r}_{\!_{1}}}{\left|\mathbf{r}-\mathbf{r}_{\!_{1}}\right|}$$
 • Sviluppiamo il denominatore

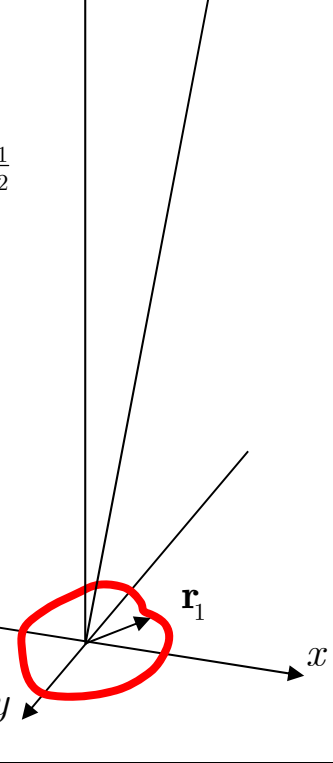
$$\left| \mathbf{r} - \mathbf{r}_{\!_{1}} \right|^{\!\!-1} = \left(r^{2} + r_{\!_{1}}^{2} - 2\mathbf{r} \cdot \mathbf{r}_{\!_{1}} \right)^{\!\!-\frac{1}{2}} = rac{1}{r} \! \left(1 + rac{r_{\!_{1}}^{2}}{r^{2}} - 2rac{\mathbf{r} \cdot \mathbf{r}_{\!_{1}}}{r^{2}}
ight)^{\!\!-\frac{1}{2}}$$

• Approssimando al primo ordine di r_1/r $\frac{1}{\sqrt{1-x}} \approx 1 + \frac{x}{2}$

$$\left|\mathbf{r}-\mathbf{r}_{1}\right|^{-1}pproxrac{1}{r}\left(1+rac{\mathbf{r}\cdot\mathbf{r}_{1}}{r^{2}}
ight)$$

Otteniamo

$$\mathbf{A}(\mathbf{r}) = \frac{\mu_0}{4\pi} \frac{I}{r} \oint_C d\mathbf{r}_1 + \frac{\mu_0}{4\pi} \frac{I}{r^3} \oint_C (\mathbf{r} \cdot \mathbf{r}_1) d\mathbf{r}_1$$



$$\mathbf{A}(\mathbf{r}) = \frac{\mu_0}{4\pi} \frac{I}{r} \oint_C d\mathbf{r}_1 + \frac{\mu_0}{4\pi} \frac{I}{r^3} \oint_C (\mathbf{r} \cdot \mathbf{r}_1) d\mathbf{r}_1$$

- Il primo termine è nullo
- Sviluppiamo l'integrando del secondo termine
 - Utilizziamo l'identità $\mathbf{A} \times (\mathbf{B} \times \mathbf{C}) = \mathbf{B}(\mathbf{A} \cdot \mathbf{C}) \mathbf{C}(\mathbf{A} \cdot \mathbf{B})$ $\mathbf{r} \times (\mathbf{r}_1 \times d\mathbf{r}_1) = \mathbf{r}_1 (\mathbf{r} \cdot d\mathbf{r}_1) d\mathbf{r}_1 (\mathbf{r} \cdot \mathbf{r}_1)$

$$\implies d\mathbf{r}_{\!_{1}}\!\left(\mathbf{r}\cdot\mathbf{r}_{\!_{1}}\right) = \mathbf{r}_{\!_{1}}\!\left(\mathbf{r}\cdot d\mathbf{r}_{\!_{1}}\right) + \left(\mathbf{r}_{\!_{1}}\times d\mathbf{r}_{\!_{1}}\right) \times \mathbf{r} \qquad \qquad \boxed{\text{ordine scambiato}}$$

• Inoltre

$$d\left[\mathbf{r}_{1}\left(\mathbf{r}\cdot\mathbf{r}_{1}\right)\right]=d\mathbf{r}_{1}\left(\mathbf{r}\cdot\mathbf{r}_{1}\right)+\mathbf{r}_{1}\left(\mathbf{r}\cdot d\mathbf{r}_{1}\right)$$

r è costante

- Sommiamo le due equazioni
 - I termini $\mathbf{r}_1(\mathbf{r} \cdot d\mathbf{r}_1)$ si elidono

$$2d\mathbf{r}_{1}\left(\mathbf{r}\cdot\mathbf{r}_{1}\right) = d\left[\mathbf{r}_{1}\left(\mathbf{r}\cdot\mathbf{r}_{1}\right)\right] + \left(\mathbf{r}_{1}\times d\mathbf{r}_{1}\right)\times\mathbf{r}$$

ullet Introduciamo la relazione trovata nel secondo integrale di ${f A}({f r})$

$$\mathbf{A}\left(\mathbf{r}\right) = \frac{\mu_0}{4\pi} \frac{I}{r^3} \oint_C \mathbf{r} \cdot \mathbf{r}_1 d\mathbf{r}_1 = \frac{\mu_0}{4\pi} \frac{1}{r^3} \frac{I}{2} \left[\oint_C d\left[\mathbf{r}_1 \left(\mathbf{r} \cdot \mathbf{r}_1\right)\right] + \oint_C \left(\mathbf{r}_1 \times d\mathbf{r}_1\right) \times \mathbf{r} \right]$$

- Il primo integrale è ancora una volta un differenziale esatto
 - L'integrale su un cammino chiuso è nullo

$$\mathbf{A}\left(\mathbf{r}
ight)=rac{\mu_{0}}{4\pi}rac{1}{r^{3}}rac{I}{2}\oint_{C}\left(\mathbf{r}_{\!\!\!1} imes d\!\mathbf{r}_{\!\!\!1}
ight) imes\mathbf{r}_{\!\!\!1}$$

ullet Definiamo il momento magnetico ${f m}$ del circuito

$$\mathbf{m} = rac{I}{2} \oint_{C} \mathbf{r}_{\!\scriptscriptstyle 1} imes d\mathbf{r}_{\!\scriptscriptstyle 1}$$

• Otteniamo l'espressione finale per il potenziale vettore di una spira (dipolo)

$$\mathbf{A}\left(\mathbf{r}
ight)=rac{\mu_{0}}{4\pi}\mathbf{m} imesrac{\mathbf{r}}{r^{3}}$$

- Sottolineiamo che si tratta di una formula approssimata
 - ullet Valida solo per r molto maggiore delle dimensioni del circuito
 - Approssimazione di dipolo
 - Il termine di monopolo è nullo

$$\oint_C d\mathbf{r}_1 = 0$$

Il momento di dipolo magnetico

• Nel caso di una densità di corrente J

$$\mathbf{m} = \frac{I}{2} \oint_{C} \mathbf{r}_{1} \times d\mathbf{r}_{1} = \frac{1}{2} \oint_{C} JS \, \mathbf{r}_{1} \times d\mathbf{r}_{1}$$

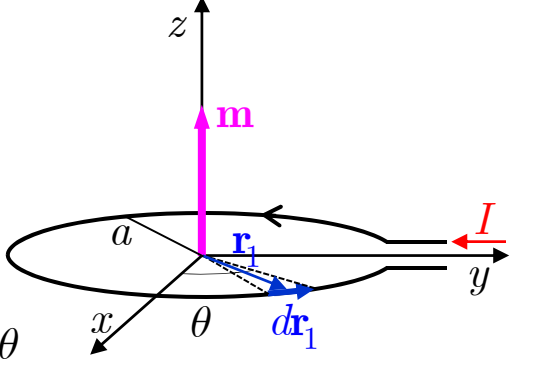
$$\mathbf{J} \parallel d\mathbf{r}_{\!\scriptscriptstyle 1}$$

- $\mathbf{m} = \frac{1}{2} \int \mathbf{r} \times \mathbf{J} d^3 \mathbf{r}$
- Cerchiamo adesso di comprendere meglio il significato della definizione di momento magnetico della spira
 - Specializziamolo al caso di una spira circolare

$$\mathbf{r}_1 = \hat{\mathbf{e}}_x a \cos \theta + \hat{\mathbf{e}}_y a \sin \theta$$

$$d\mathbf{r}_1 = \frac{d\mathbf{r}_1}{d\theta} d\theta = \left(-\hat{\mathbf{e}}_x \sin\theta + \hat{\mathbf{e}}_y \cos\theta\right) a d\theta$$

$$\mathbf{r}_{1} \times d\mathbf{r}_{1} = \left(\hat{\mathbf{e}}_{x} \cos \theta + \hat{\mathbf{e}}_{y} \sin \theta\right) a \times \left(-\hat{\mathbf{e}}_{x} \sin \theta + \hat{\mathbf{e}}_{y} \cos \theta\right) a d\theta$$



$$= \left(\hat{\mathbf{e}}_x \times \hat{\mathbf{e}}_y \cos^2 \theta - \hat{\mathbf{e}}_y \times \hat{\mathbf{e}}_x \sin^2 \theta\right) a^2 d\theta = \left(\hat{\mathbf{e}}_x \times \hat{\mathbf{e}}_y \cos^2 \theta + \hat{\mathbf{e}}_x \times \hat{\mathbf{e}}_y \sin^2 \theta\right) a^2 d\theta = \hat{\mathbf{e}}_z a^2 d\theta$$

• Pertanto il momento magnetico è

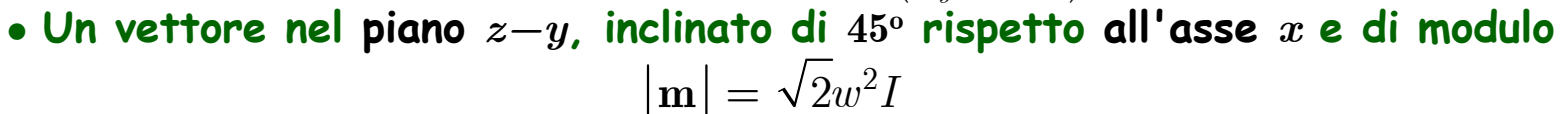
$$\mathbf{m} = \frac{I}{2} \oint_{C} \hat{\mathbf{e}}_{z} a^{2} d\theta = \frac{I}{2} 2\pi a^{2} \hat{\mathbf{e}}_{z} = I\pi a^{2} \hat{\mathbf{e}}_{z}$$

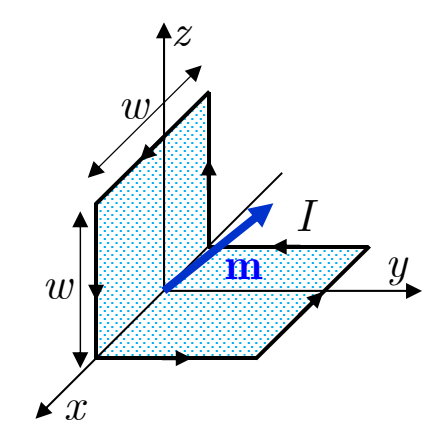
- ullet Il momento magnetico ${f m}$ è un vettore
 - Perpendicolare al piano che contiene la spira
 - Il modulo è uguale al prodotto della corrente per la superficie della spira

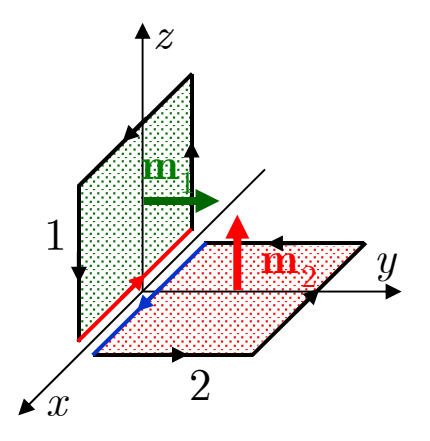
Esempio 2: una spira non piana

- Consideriamo adesso la spira in figura
 - ullet La corrente della spira è I
 - ullet Supponiamo che tutti i segmenti abbiano la stessa lunghezza w
 - ullet Metà della spira giace nel piano x-z
 - ullet L'altra metà della spira giace nel piano y-z
- La spira è equivalente a due spire piane
 - Le due correnti evidenziate in rosso e in blu si elidono quando si combinano le due spire piane per formare la spira iniziale
- Il momento magnetico delle due spire è semplice
 - \bullet Per la spira 1 $\mathbf{m}_1 = w^2 I \hat{\mathbf{e}}_y$
 - \bullet Per la spira 2 $~\mathbf{m}_2 = w^2 I \hat{\mathbf{e}}_z$
 - Il momento magnetico della spira composta dalle spire 1 e 2 è pertanto

$$\mathbf{m} = \mathbf{m}_1 + \mathbf{m}_2 = w^2 I \left(\hat{\mathbf{e}}_y + \hat{\mathbf{e}}_z \right)$$







- ullet Specializziamo al caso di un circuito con momento magnetico diretto lungo l'asse z
 - Ad esempio la spira dell'esempio precedente

$$\mathbf{A}(\mathbf{r}) = \frac{\mu_0}{4\pi} \mathbf{m} \times \frac{\mathbf{r}}{r^3} = \frac{\mu_0}{4\pi} |\mathbf{m}| \hat{\mathbf{e}}_z \times \frac{\mathbf{r}}{r^3}$$

$$\mathbf{r} = \hat{\mathbf{e}}_x x + \hat{\mathbf{e}}_y y + \hat{\mathbf{e}}_z z \quad \hat{\mathbf{e}}_z \times \mathbf{r} = \hat{\mathbf{e}}_z \times (\hat{\mathbf{e}}_x x + \hat{\mathbf{e}}_y y + \hat{\mathbf{e}}_z z)$$

$$\hat{\mathbf{e}}_z \times \mathbf{r} = \hat{\mathbf{e}}_z \times \hat{\mathbf{e}}_x x + \hat{\mathbf{e}}_z \times \hat{\mathbf{e}}_y y = \hat{\mathbf{e}}_y x - \hat{\mathbf{e}}_x y$$

• Le componenti del potenziale vettore sono

$$\begin{split} A_x &= -\frac{\mu_0}{4\pi} \big| \mathbf{m} \big| \frac{y}{r^3} = -\frac{\mu_0}{4\pi} \big| \mathbf{m} \big| \frac{r_{\perp}}{r^3} \sin \phi \qquad \qquad \mathbf{A} \left(\mathbf{r} \right) = \frac{\mu_0}{4\pi} \big| \mathbf{m} \big| \frac{r_{\perp}}{r^3} \hat{\mathbf{e}}_{\phi} \\ A_y &= \frac{\mu_0}{4\pi} \big| \mathbf{m} \big| \frac{x}{r^3} \qquad \qquad = \frac{\mu_0}{4\pi} \big| \mathbf{m} \big| \frac{r_{\perp} \cos \phi}{r^3} \qquad \qquad \mathbf{A} \left(\mathbf{r} \right) = \frac{\mu_0}{4\pi} \big| \mathbf{m} \big| \frac{\sin \theta}{r^2} \hat{\mathbf{e}}_{\phi} \end{split}$$

$$A_z = 0$$

ullet Le linee di campo di A(r) sono circonferenze concentriche con l'asse z

 $\mathbf{r}_{\perp} = \hat{\mathbf{e}}_{x}x + \hat{\mathbf{e}}_{y}y$

Il campo magnetico del dipolo

- Possiamo adesso calcolare il campo magnetico
 - È conveniente fare il calcolo in coordinate sferiche

$$\mathbf{A}ig(\mathbf{r}ig) = rac{\mu_0}{4\pi} ig|\mathbf{m}ig|rac{\sin heta}{r^2}\hat{\mathbf{e}}_{\phi}$$

- ullet Il potenziale vettore ha solo la componente A_ϕ
- Ricordiamo l'espressione del rotore in coordinate sferiche

$$\boldsymbol{\nabla}\times\mathbf{A} = \frac{1}{r\sin\theta}\bigg[\frac{\partial}{\partial\theta}\big(\sin\theta A_{\!\scriptscriptstyle\phi}\big) - \frac{\partial A_{\!\scriptscriptstyle\theta}}{\partial\phi}\bigg]\hat{\mathbf{e}}_{r} + \frac{1}{r}\bigg[\frac{1}{\sin\theta}\frac{\partial A_{\!\scriptscriptstyle r}}{\partial\phi} - \frac{\partial}{\partial r}\big(rA_{\!\scriptscriptstyle\phi}\big)\bigg]\hat{\mathbf{e}}_{\theta} + \frac{1}{r}\bigg[\frac{\partial}{\partial r}\bigg(rA_{\!\scriptscriptstyle\theta} - \frac{\partial A_{\!\scriptscriptstyle\tau}}{\partial\theta}\bigg)\bigg]\hat{\mathbf{e}}_{\phi}$$

ullet La componente B_ϕ è nulla $(A_ heta=A_r=0)$

$$B_{r} = \frac{1}{r \sin \theta} \frac{\partial}{\partial \theta} \left(\sin \theta A_{\phi} \right) = \frac{\mu_{0}}{4\pi} |\mathbf{m}| \frac{2 \sin \theta \cos \theta}{\sin \theta r^{3}} = \frac{\mu_{0}}{4\pi} |\mathbf{m}| \frac{2 \cos \theta}{r^{3}}$$

$$B_{ heta} = -rac{1}{r}rac{\partial}{\partial r}ig(rA_{\phi}ig) = -rac{1}{r}rac{\partial}{\partial r}igg(rrac{\mu_0}{4\pi}ig|\mathbf{m}ig|rac{\sin heta}{r^2}igg) = -rac{1}{r}rac{\mu_0}{4\pi}ig|\mathbf{m}ig|\sin hetaigg(-rac{1}{r^2}igg)$$

$$B_{ heta} = rac{\mu_0}{4\pi} |\mathbf{m}| rac{\sin heta}{r^3}$$

$$B_r = \frac{\mu_0}{4\pi} |\mathbf{m}| \frac{2\cos\theta}{r^3}$$

$$\left| B_{\theta} = \frac{\mu_0}{4\pi} |\mathbf{m}| \frac{\sin \theta}{r^3} \right| \quad \left| B_r = \frac{\mu_0}{4\pi} |\mathbf{m}| \frac{2\cos \theta}{r^3} \right| \quad \mathbf{E} = \frac{1}{4\pi\varepsilon_0} \frac{p}{r^3} \left(2\hat{\mathbf{e}}_r \cos \theta + \hat{\mathbf{e}}_\theta \sin \theta \right)$$

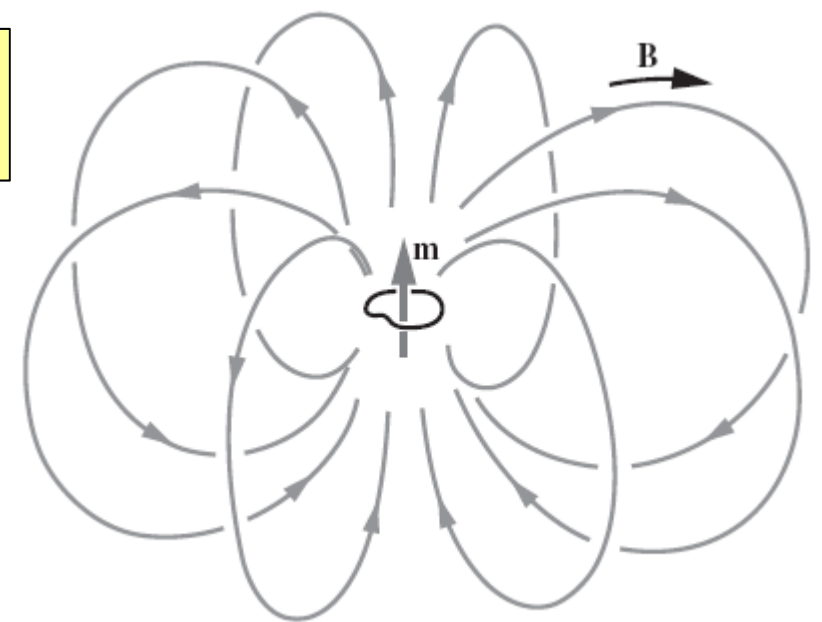
Da confrontare con il campo del dipolo elettrico

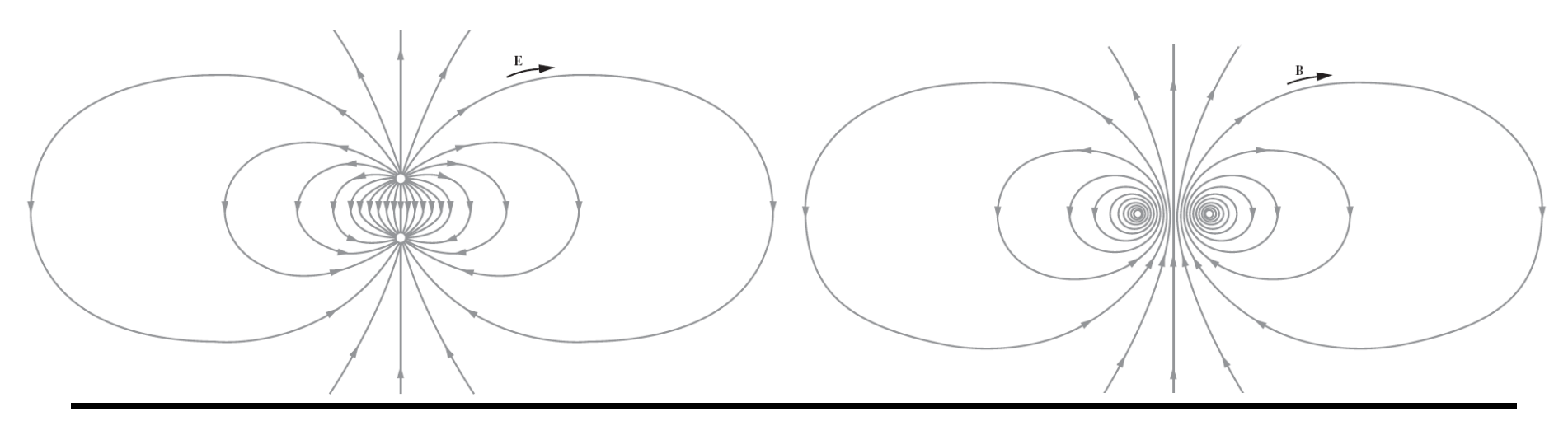
Il campo magnetico del dipolo

$$B_{\theta} = \frac{\mu_0}{4\pi} |\mathbf{m}| \frac{\sin \theta}{r^3}$$

$$\left|B_{\theta} = \frac{\mu_0}{4\pi} \left| \mathbf{m} \right| \frac{\sin \theta}{r^3} \right| \left|B_r = \frac{\mu_0}{4\pi} \left| \mathbf{m} \right| \frac{2\cos \theta}{r^3} \right|$$

- Le linee di campo sono come in figura
 - Sottolineiamo che le formule danno il campo a grandi distanze
 - ullet A piccole distanze i campi E e Bsono molto differenti





Forza fra due fili percorsi da corrente

• Abbiamo iniziato la trattazione della magnetostatica citando la legge di Ampère sulla forza fra due fili percorsi da corrente (vedi diapositiva 7)

$$F_{1,2} = \mu_0 \frac{i_1 i_2}{2\pi a} l$$

- Ricaviamo la legge di Ampère alla luce di quanto fin qui studiato
 - Il campo magnetico di un filo infinito

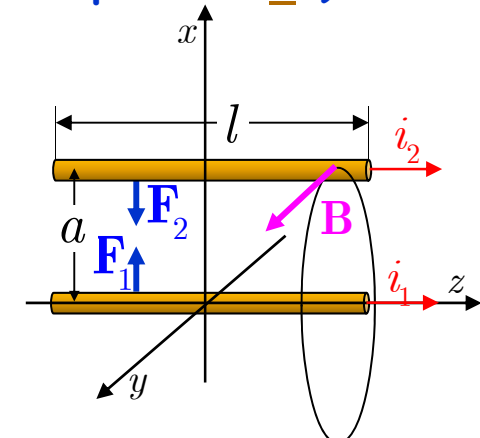
$$\mathbf{B}(\mathbf{r}) = \frac{\mu_0}{2\pi} \frac{I}{r} \hat{\mathbf{e}}_{\phi}$$

- Le linee del campo B sono circonferenze
- Nella posizione del filo 2 il campo magnetico vale
- La forza sul secondo filo è

$$d\mathbf{F} = i_2 d\mathbf{l} \times \mathbf{B} = i_2 dl \,\hat{\mathbf{e}}_z \times \mathbf{B} \longrightarrow \mathbf{F} = i_2 \, l \,\hat{\mathbf{e}}_z \times \mathbf{B}$$

• Sostituendo il valore del campo magnetico B

$$\mathbf{F} = i_2 \, l \, \hat{\mathbf{e}}_z imes rac{\mu_0}{2\pi} \, \hat{\mathbf{e}}_y \, rac{i_1}{a} \, = rac{\mu_0}{2\pi} rac{i_1 i_2}{a} \, l \, \hat{\mathbf{e}}_z imes \hat{\mathbf{e}}_y \qquad \mathbf{F} = -rac{\mu_0}{2\pi} rac{i_1 i_2}{a} \, l \, \hat{\mathbf{e}}_x$$



$$\mathbf{B}ig(\mathbf{r}_{\!\scriptscriptstyle a}ig) = rac{\mu_{\!\scriptscriptstyle 0}}{2\pi}rac{i_{\!\scriptscriptstyle 1}}{a}\hat{\mathbf{e}}_{\!\scriptscriptstyle y}$$

Forza e momento della forza

• Abbiamo scritto l'espressione della forza su un circuito nella diapositiva 31

$$\mathbf{F} = I \oint_C d\mathbf{l} \times \mathbf{B}$$

• Se il campo magnetico è uniforme si può fattorizzare l'integrale

$$\mathbf{F} = \left(I \oint_C d\mathbf{l}\right) \times \mathbf{B}$$

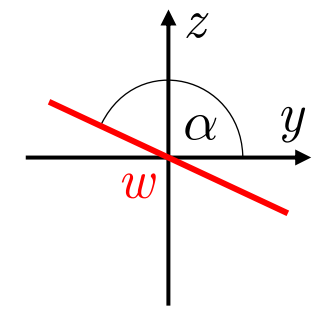
- ullet Abbiamo già notato che l'integrale di $d{
 m l}$ su un circuito chiuso \dot{ullet} nullo
- Concludiamo che in un campo magnetico uniforme la forza su una spira è nulla
- Tuttavia in generale il momento delle forze non è nullo
 - ullet Consideriamo la spira quadrata di lato w in figura
 - ullet è percorsa da una corrente I; il momento magnetico è $oxdot{m}$
 - ullet Può ruotare intorno ad un asse che giace sull'asse x
 - ullet Il campo magnetico ${
 m B}$ è lungo l'asse z
 - ullet Sui quattro lati agiscono le forze $F_1,\,F_2,\,F_3,\,F_4$

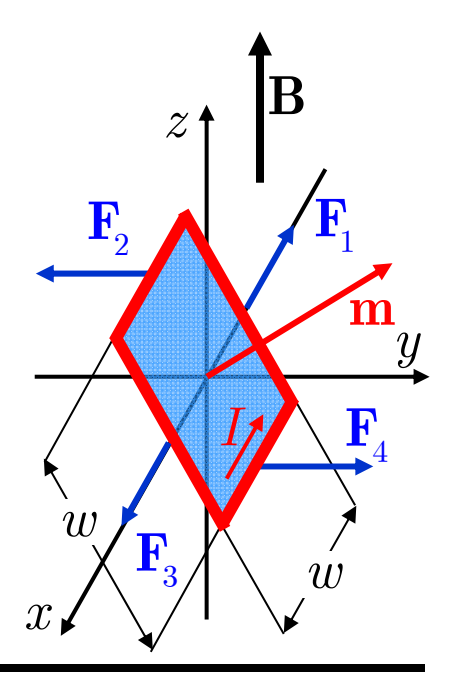
$$\mathbf{F}_{1} = Iw(\hat{\mathbf{e}}_{y}\cos\alpha + \hat{\mathbf{e}}_{z}\sin\alpha) \times B\hat{\mathbf{e}}_{z}$$

$$\mathbf{F}_{1} = IwB\cos\alpha\hat{\mathbf{e}}_{x}$$

$$\mathbf{F}_{2} = Iw\hat{\mathbf{e}}_{x} \times B\hat{\mathbf{e}}_{z} = -IwB\hat{\mathbf{e}}_{y}$$

$$\mathbf{F}_{\hspace{-0.05cm}3} = -\mathbf{F}_{\hspace{-0.05cm}1} \hspace{1.5cm} \mathbf{F}_{\hspace{-0.05cm}4} = -\mathbf{F}_{\hspace{-0.05cm}2}$$

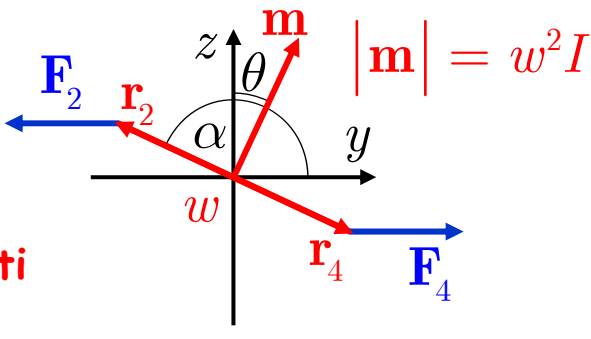




Forza e momento della forza

- Calcoliamo il momento delle forze rispetto all'asse di rotazione della spira (asse x)
 - Le forze F_1 e F_2 sono lungo l'asse x
 - Il loro momento è nullo
 - ullet Le forze ${f F}_2$ e ${f F}_4$ sono applicate nei punti individuati dai vettori r_2 e r_A

$$\mathbf{r}_{2} = rac{w}{2} (\hat{\mathbf{e}}_{y} \cos lpha + \hat{\mathbf{e}}_{z} \sin lpha) \quad \mathbf{r}_{4} = -\mathbf{r}_{2}$$



$$\mathbf{F}_{\!\scriptscriptstyle 2} = -IwB\hat{\mathbf{e}}_{\!\scriptscriptstyle y} \ \mathbf{F}_{\!\scriptscriptstyle 4} = -\mathbf{F}_{\!\scriptscriptstyle 2}$$

I momenti delle forze sono

$$\begin{aligned} \boldsymbol{\tau}_{2} &= \mathbf{r}_{2} \times \mathbf{F}_{2} = -\frac{w}{2} \left(\hat{\mathbf{e}}_{y} \cos \alpha + \hat{\mathbf{e}}_{z} \sin \alpha \right) \times IwB \hat{\mathbf{e}}_{y} = \frac{w^{2}I}{2} B \sin \alpha \hat{\mathbf{e}}_{x} \\ \boldsymbol{\tau}_{4} &= \left(-\mathbf{r}_{2} \right) \times \left(-\mathbf{F}_{2} \right) = \boldsymbol{\tau}_{2} \qquad \boldsymbol{\tau} = \boldsymbol{\tau}_{2} + \boldsymbol{\tau}_{4} = w^{2}IB \sin \alpha \hat{\mathbf{e}}_{x} = \left| \mathbf{m} \right| B \sin \alpha \hat{\mathbf{e}}_{x} \end{aligned}$$

- ullet Il momento magnetico forma un angolo $lpha \pi/2$ con l'asse y
 - ullet L'angolo di ${f m}$ con l'asse z è $heta=\pi/2-(lpha-\pi/2)=\pi-lpha$

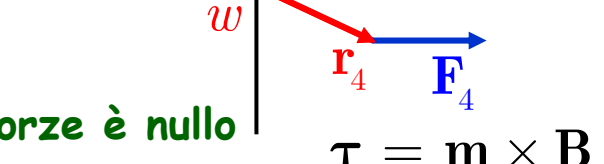
$$\alpha = \pi - \theta$$

Otteniamo pertanto

$$\sin \alpha = \sin \theta$$
 $\mathbf{\tau} = |\mathbf{m}| B \sin \theta \hat{\mathbf{e}}_x$ $\mathbf{\tau} = \mathbf{m} \times \mathbf{B}$

Forza e momento della forza

- Pertanto il momento delle forze è diretto lungo l'asse delle x (perpendicolare allo schermo)
 - La spira ruota in senso antiorario
 - \bullet Il momento magnetico si allinea con il campo magnetico B



- \bullet Quando B e m sono paralleli il momento delle forze è nullo
- ullet Supponiamo di avere una spira con momento magnetico m allineato con il campo magnetico B
 - Applichiamo una forza meccanica per ruotare lentamente la spira
 - Il lavoro fatto dalla forza esterna bilanciando esattamente il momento della forza magnetica è ($au_{\rm ext}=- au$)

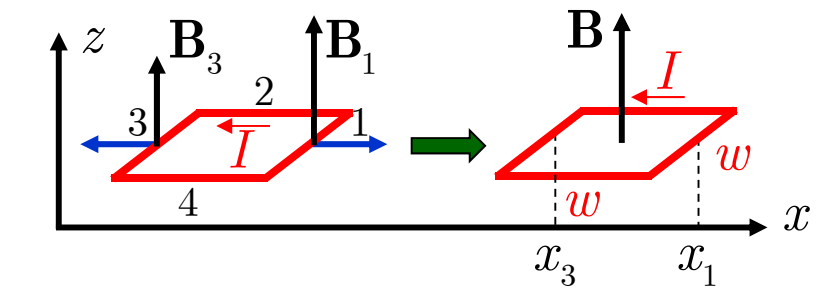
$$dW = \mathbf{\tau}_{\text{out}} \cdot d\mathbf{\theta} = -\mathbf{\tau} \cdot d\mathbf{\theta} = -\tau d\theta$$

ullet Definiamo l'energia potenziale della spira nel campo magnetico dU=-dW

$$U(\theta) = \int_0^\theta dU = -\int_0^\theta dW = \int_0^\theta \tau d\alpha = mB \int_0^\theta \sin\alpha d\alpha = mB - mB\cos\theta$$

$$U \uparrow 2mB \qquad \text{L'energia potenziale è definita a meno di una costante} \qquad U \uparrow mB \qquad U(\theta) = -\mathbf{m} \cdot \mathbf{B}$$

- Supponiamo di costruire il sistema con la spira quadrata appena descritto
 - Vogliamo trasportare una spira da una regione senza campo magnetico ad una regione con un campo B in modo che il momento magnetico sia allineato con B
 - Ovviamente occorre attraversare regioni in cui il campo B non è uniforme
 - Supponiamo inoltre che la spira sia vincolata a muoversi solo nella direzione x
 - Per effetto del campo magnetico vengono esercitate forze sui lati della spira



- Ignoriamo le forze sui lati 2 e 4 dirette lungo l'asse y
- $\mathbf{F}_{1} = IwB_{1}\hat{\mathbf{e}}_{x}$ $\mathbf{F}_{2} = -IwB_{2}\hat{\mathbf{e}}_{x}$ ullet Le forze sui lati 1 e 3 sono rispettivamente

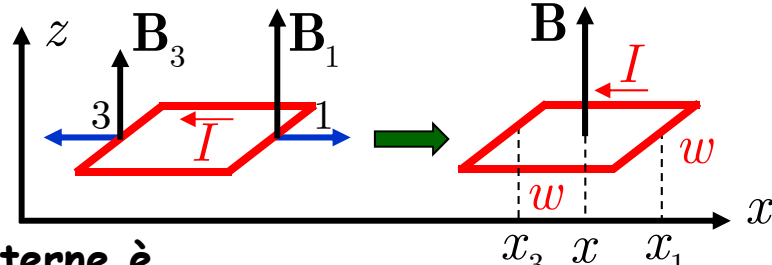
 \mathbf{F}_{e1} e \mathbf{F}_{e3} che bilanciano esattamente le forze magnetiche

$$\mathbf{F}_{e1} = -\mathbf{F}_{1} = -IwB_{1}\hat{\mathbf{e}}_{x}$$
 $\mathbf{F}_{e3} = -\mathbf{F}_{3} = IwB_{3}\hat{\mathbf{e}}_{x}$

• Il lavoro fatto per spostare i lati della spira dalla regione con campo nullo (x_i) a x_1 e x_3 è rispettivamente

$$egin{align} W_1 &= \int_{x_i}^{x_1} \mathbf{F}_{\mathrm{e}1} \cdot d\mathbf{r} &= -Iw \int_{x_i}^{x_1} B_z\left(x
ight) dx \ W_3 &= \int_{x_i}^{x_3} \mathbf{F}_{\mathrm{e}3} \cdot d\mathbf{r} &= +Iw \int_{x_i}^{x_3} B_z\left(x
ight) dx \ \end{split}$$

$$W_1 = -Iw \int_{x_i}^{x_1} B_z(x) dx$$
 $W_2 = +Iw \int_{x_i}^{x_2} B_z(x) dx$



• Pertanto il lavoro fatto dalle forze esterne è

$$W = W_1 + W_2 = -Iw \int_{x_i}^{x_1} B_z(x) dx + Iw \int_{x_i}^{x_3} B_z(x) dx = Iw \int_{x_1}^{x_3} B_z(x) dx$$

- Supponiamo adesso che le dimensioni della spira siano piccole
 - ullet Supponiamo cioè che il campo ${
 m B}$ vari poco spostandosi di w

$$W \approx IwB_{z}\left(x_{c}\right)\int_{x_{1}}^{x_{3}}dx = IwB_{zxc}\left(x_{1} - x_{3}\right) = -Iw^{2}B_{zxc} - \left|\mathbf{m}\right|B_{zxc}$$

- Naturalmente il lavoro meccanico fatto è uguale all'energia potenziale del sistema
 - Il valore trovato coincide con il risultato del calcolo precedente
- Possiamo anche calcolare la forza che agisce sulla spira ad ogni istante

$$\mathbf{F}_{1} = IwB_{1}\hat{\mathbf{e}}_{x}$$
 $\mathbf{F}_{3} = -IwB_{3}\hat{\mathbf{e}}_{x}$ $\mathbf{F} = \mathbf{F}_{1} + \mathbf{F}_{3}$ $\mathbf{F} = Iw[B_{z}(x_{1}) - B_{z}(x_{3})]\hat{\mathbf{e}}_{x}$

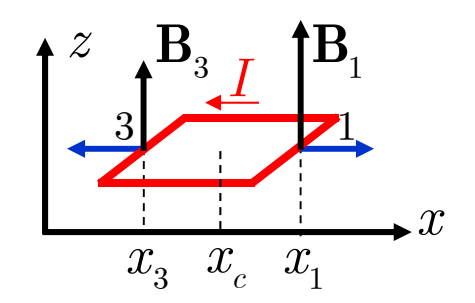
$$\mathbf{F} = Iw \left[B_z \left(x_1 \right) - B_z \left(x_3 \right) \right] \hat{\mathbf{e}}_x$$

ullet Calcoliamo una forma approssimata per $B(x_k)$ rispetto a x_c

$$B_{z}(x_{1}) \approx B_{z}(x_{c}) + \frac{\partial B_{z}}{\partial x} \Big|_{x_{c}} \frac{w}{2} \quad B_{z}(x_{3}) \approx B_{z}(x_{c}) - \frac{\partial B_{z}}{\partial x} \Big|_{x_{c}} \frac{w}{2}$$

$$\mathbf{F} = Iw \Big[B_{z}(x_{c}) + \frac{\partial B_{z}}{\partial x} \frac{w}{2} - \Big[B_{z}(x_{c}) - \frac{\partial B_{z}}{\partial x} \frac{w}{2} \Big] \Big] \hat{\mathbf{e}}_{x}$$

$$\mathbf{F} = Iw^{2} \frac{\partial B_{z}}{\partial x} \hat{\mathbf{e}}_{x} = |\mathbf{m}| \frac{\partial B_{z}}{\partial x} \hat{\mathbf{e}}_{x} = -\mathbf{F}_{e}$$



ullet Calcoliamo nuovamente il lavoro fatto dalla forza esterna ${f F}_{
m e}$ per passare dalla regione iniziale dove $B_z=0$ alla posizione finale con campo B_z

$$W = \int_{x_i}^{x_f} \mathbf{F}_e \cdot d\mathbf{l} = -\int_{x_i}^{x_f} \left| \mathbf{m} \right| \frac{\partial B_z}{\partial x} dx = -\int_{x_i}^{x_f} \left| \mathbf{m} \right| dB_z = -\left| \mathbf{m} \right| (B_{zf} - B_{zi})$$

$$W = -\left| \mathbf{m} \right| B_z = U$$

Ancora una volta abbiamo ritrovato il risultato della diapositiva 112

• L'espressione per l'energia potenziale che abbiamo trovato

$$U(\theta) = -\mathbf{m} \cdot \mathbf{B}$$

- È il lavoro fatto per costruire un sistema con un dipolo magnetico allineato al campo magnetico
 - Ci sono molte sottigliezze in questa energia
 - Per trattarle adeguatamente occorre prima comprendere il fenomeno dell'induzione elettromagnetica
- \bullet Dimostriamo adesso che nel caso generale di campo B e momento magnetico in direzioni arbitrarie la formula per la forza è

$$\mathbf{F} = \mathbf{\nabla} (\mathbf{m} \cdot \mathbf{B})$$

- È interessante confrontare con la formula che avevamo trovato per la forza su un dipolo elettrico
 - Nella diapositiva 276 del primo semestre avevamo trovato

$$\mathbf{F} = ig(\mathbf{p}\cdot\mathbf{
abla}ig)\mathbf{E}$$

- Le due formule sono simili ma la differenza è sostanziale
- Sottolineeremo con degli esempi la differenza
- Vedremo che le due formule sono equivalenti solo in particolari situazioni

- Calcoliamo la forza esercitata su un circuito percorso da corrente in un campo di induzione magnetica B non uniforme
 - ullet Consideriamo una spira quadrata sul piano z-y, di lato Δ e percorsa da una corrente I
 - ullet Il suo momento magnetico è lungo l'asse x

$$\mathbf{m} = m_0 \hat{\mathbf{e}}_x \qquad m_0 = I\Delta^2$$

- ullet Il campo di induzione magnetica al centro è $B{=}B({f r})$
- Calcoliamo la forza sulla spira

$$\mathbf{F} = \oint_C d\mathbf{F} = I \oint_C d\mathbf{l} \times \mathbf{B}$$

$$\mathbf{F} = I \int_{\Gamma_1} d\mathbf{l} \times \mathbf{B} + I \int_{\Gamma_2} d\mathbf{l} \times \mathbf{B} + I \int_{\Gamma_3} d\mathbf{l} \times \mathbf{B} + I \int_{\Gamma_4} d\mathbf{l} \times \mathbf{B}$$

$$\mathbf{r}_1 = (x, y, z - \Delta / 2)$$

$$\mathbf{r}_2 = (x, y + \Delta / 2, z)$$

$$\mathbf{r}_3 = (x, y, z + \Delta / 2)$$

Gli integrandi dei 4 integrali sono

$$\begin{vmatrix} \mathbf{r} = & (x, y, z) \\ \mathbf{r}_1 = & (x, y, z - \Delta / 2) \\ \mathbf{r}_2 = & (x, y + \Delta / 2, z) \\ \mathbf{r}_3 = & (x, y, z + \Delta / 2) \\ \mathbf{r}_4 = & (x, y - \Delta / 2, z) \end{vmatrix}$$

$$\begin{split} d\mathbf{F} &= I \left\{ \left. \hat{\mathbf{e}}_y dy \times \mathbf{B}_1 + \hat{\mathbf{e}}_z dz \times \mathbf{B}_2 - \hat{\mathbf{e}}_y dy \times \mathbf{B}_3 - \hat{\mathbf{e}}_z dz \times \mathbf{B}_4 \right. \right\} \\ d\mathbf{F} &= I \left\{ -\hat{\mathbf{e}}_y dy \times \left[\mathbf{B}_3 - \mathbf{B}_1 \right] + \hat{\mathbf{e}}_z dz \times \left(\mathbf{B}_2 - \mathbf{B}_4 \right) \right\} \end{split}$$

$$d\mathbf{F} = I\left\{-\hat{\mathbf{e}}_{y}dy \times \left[\mathbf{B}_{3} - \mathbf{B}_{1}\right] + \hat{\mathbf{e}}_{z}dz \times \left(\mathbf{B}_{2} - \mathbf{B}_{4}\right)\right\}$$

• Sviluppiamo i campi al primo ordine

$$\mathbf{B}_{\!\scriptscriptstyle 1} = \mathbf{B}\!\left(\mathbf{r}_{\!\scriptscriptstyle 1}\right) pprox \mathbf{B}\!\left(\mathbf{r}\right) + rac{\partial \mathbf{B}}{\partial z} \Bigg|_{\!\scriptscriptstyle \mathbf{r}} \!\left(-rac{\Delta}{2}
ight)$$

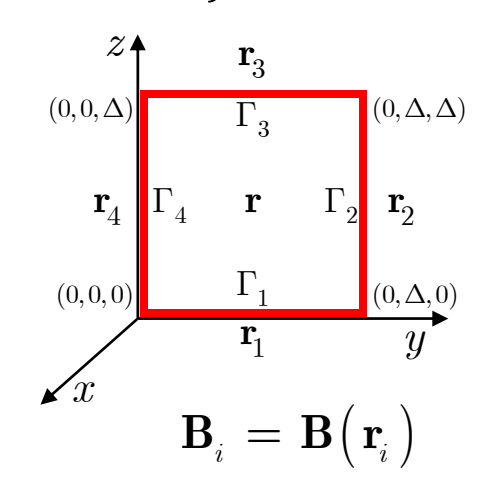
$$\mathbf{B}_{2} = \mathbf{B}(\mathbf{r}_{2}) pprox \mathbf{B}(\mathbf{r}) + \frac{\partial \mathbf{B}}{\partial y} \left|_{\mathbf{r}} \frac{\Delta}{2} \right|_{\mathbf{r}}$$

$$\mathbf{B}_{3} = \mathbf{B}(\mathbf{r}_{3}) \approx \mathbf{B}(\mathbf{r}) + \frac{\partial \mathbf{B}}{\partial z} \left|_{\mathbf{r}} \frac{\Delta}{2} \right|_{\mathbf{r}}$$

$$\mathbf{B}_{\!\scriptscriptstyle 4} = \mathbf{B}\!\left(\mathbf{r}_{\!\scriptscriptstyle 4}^{}
ight) pprox \mathbf{B}\!\left(\mathbf{r}^{}
ight) + rac{\partial \mathbf{B}}{\partial y}igg|_{\!\!\mathbf{r}}\!\left(-rac{\Delta}{2}
ight)$$

Inseriamo nella formula

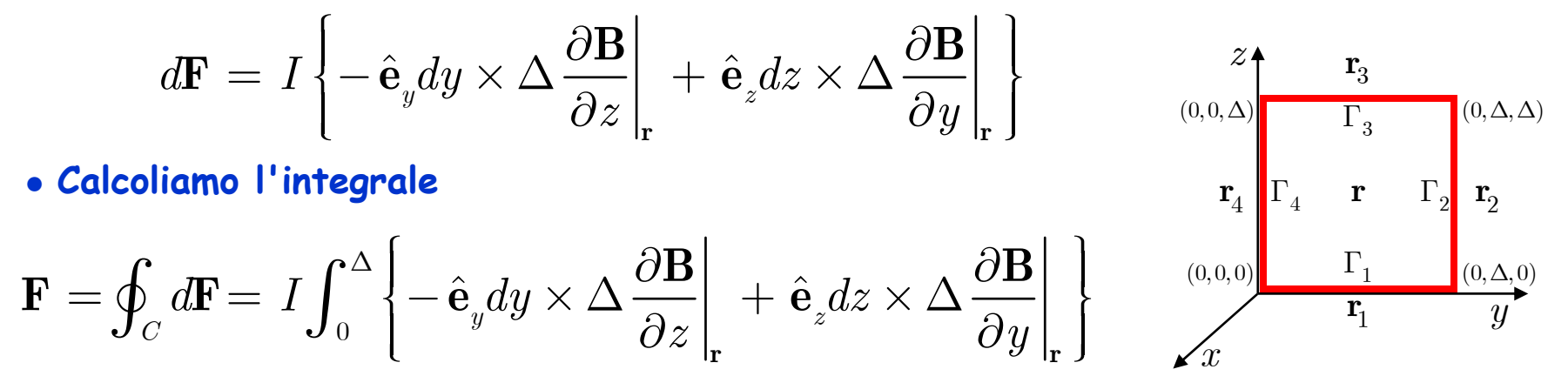
$$d\mathbf{F} = I \left\{ -\hat{\mathbf{e}}_y dy \times \Delta \frac{\partial \mathbf{B}}{\partial z} \bigg|_{\mathbf{r}} + \hat{\mathbf{e}}_z dz \times \Delta \frac{\partial \mathbf{B}}{\partial y} \bigg|_{\mathbf{r}} \right\}$$



$$\begin{array}{lll} \mathbf{r} = & (x, y, z) \\ \mathbf{r}_1 = & (x, y, z - \Delta \ / \ 2) \\ \mathbf{r}_2 = & (x, y + \Delta \ / \ 2, z) \\ \mathbf{r}_3 = & (x, y, z + \Delta \ / \ 2) \\ \mathbf{r}_4 = & (x, y - \Delta \ / \ 2, z) \end{array}$$

$$d\mathbf{F} = I \left\{ -\hat{\mathbf{e}}_y dy \times \Delta \frac{\partial \mathbf{B}}{\partial z} \bigg|_{\mathbf{r}} + \hat{\mathbf{e}}_z dz \times \Delta \frac{\partial \mathbf{B}}{\partial y} \bigg|_{\mathbf{r}} \right\}$$

$$\mathbf{F} = \oint_{C} d\mathbf{F} = I \int_{0}^{\Delta} \left\{ -\hat{\mathbf{e}}_{y} dy \times \Delta \frac{\partial \mathbf{B}}{\partial z} \right|_{\mathbf{r}} + \hat{\mathbf{e}}_{z} dz \times \Delta \frac{\partial \mathbf{B}}{\partial y} \right|_{\mathbf{r}}$$



• Consideriamo le derivate costanti lungo l'integrale (Δ è piccolo)

$$\int_0^\Delta \frac{\partial \mathbf{B}}{\partial z} \bigg|_{\mathbf{r}} \, dy \simeq \frac{\partial \mathbf{B}}{\partial z} \bigg|_{\mathbf{r}} \, \Delta$$

$$\int_0^\Delta \frac{\partial \mathbf{B}}{\partial z} \bigg|_{\mathbf{r}} dy \simeq \frac{\partial \mathbf{B}}{\partial z} \bigg|_{\mathbf{r}} \Delta \qquad \int_0^\Delta \frac{\partial \mathbf{B}}{\partial y} \bigg|_{\mathbf{r}} dz \simeq \frac{\partial \mathbf{B}}{\partial y} \bigg|_{\mathbf{r}} \Delta$$

- ullet Da ora in poi le derivate sono calcolate nel punto ${f r}$
 - Otteniamo

$$\mathbf{F} = I\Delta^{2} \left\{ -\hat{\mathbf{e}}_{y} \times \frac{\partial \mathbf{B}}{\partial z} + \hat{\mathbf{e}}_{z} \times \frac{\partial \mathbf{B}}{\partial y} \right\} = m_{0} \left\{ -\hat{\mathbf{e}}_{y} \times \frac{\partial \mathbf{B}}{\partial z} + \hat{\mathbf{e}}_{z} \times \frac{\partial \mathbf{B}}{\partial y} \right\}$$

$$\mathbf{F} = m_{_{0}} \left\{ -\hat{\mathbf{e}}_{_{y}} imes rac{\partial \mathbf{B}}{\partial z} + \hat{\mathbf{e}}_{_{z}} imes rac{\partial \mathbf{B}}{\partial y}
ight\}$$

• Calcoliamo i prodotti vettoriali

$$\hat{\mathbf{e}}_{y} \times \frac{\partial \mathbf{B}}{\partial z} = \begin{vmatrix} \hat{\mathbf{e}}_{x} & \hat{\mathbf{e}}_{y} & \hat{\mathbf{e}}_{z} \\ 0 & 1 & 0 \\ \frac{\partial B_{x}}{\partial z} & \frac{\partial B_{y}}{\partial z} & \frac{\partial B_{z}}{\partial z} \end{vmatrix} = \begin{bmatrix} \hat{\mathbf{e}}_{x} \frac{\partial B_{z}}{\partial z} - \hat{\mathbf{e}}_{z} \frac{\partial B_{x}}{\partial z} \end{bmatrix} \quad \begin{vmatrix} \hat{\mathbf{e}}_{z} \times \frac{\partial \mathbf{B}}{\partial y} = \begin{vmatrix} \hat{\mathbf{e}}_{x} & \hat{\mathbf{e}}_{y} & \hat{\mathbf{e}}_{z} \\ 0 & 0 & 1 \\ \frac{\partial B_{x}}{\partial y} & \frac{\partial B_{y}}{\partial y} & \frac{\partial B_{z}}{\partial y} \end{vmatrix} = \begin{bmatrix} \hat{\mathbf{e}}_{y} \frac{\partial B_{x}}{\partial y} - \hat{\mathbf{e}}_{x} \frac{\partial B_{y}}{\partial y} \end{bmatrix}$$

• Otteniamo infine

$$\mathbf{F} = m_0 \left\{ -\hat{\mathbf{e}}_x \frac{\partial B_z}{\partial z} + \hat{\mathbf{e}}_z \frac{\partial B_x}{\partial z} + \hat{\mathbf{e}}_y \frac{\partial B_x}{\partial y} - \hat{\mathbf{e}}_x \frac{\partial B_y}{\partial y} \right\} = m_0 \left\{ \hat{\mathbf{e}}_x \left[-\frac{\partial B_y}{\partial y} - \frac{\partial B_z}{\partial z} \right] + \hat{\mathbf{e}}_y \frac{\partial B_x}{\partial y} + \hat{\mathbf{e}}_z \frac{\partial B_x}{\partial z} \right\}$$

• Ricordiamo che

$$\nabla \cdot \mathbf{B} = 0 \quad \Longrightarrow \quad \frac{\partial B_x}{\partial x} + \frac{\partial B_y}{\partial y} + \frac{\partial B_z}{\partial z} = 0 \quad \Longrightarrow \quad -\frac{\partial B_y}{\partial y} - \frac{\partial B_z}{\partial z} = \frac{\partial B_x}{\partial x}$$

$$\mathbf{F} = m_0 \left\{ \hat{\mathbf{e}}_x \frac{\partial B_x}{\partial x} + \hat{\mathbf{e}}_y \frac{\partial B_x}{\partial y} + \hat{\mathbf{e}}_z \frac{\partial B_x}{\partial z} \right\}$$

$$\mathbf{F} = m_0 \left\{ \hat{\mathbf{e}}_x \frac{\partial B_x}{\partial x} + \hat{\mathbf{e}}_y \frac{\partial B_x}{\partial y} + \hat{\mathbf{e}}_z \frac{\partial B_x}{\partial z} \right\}$$

- Ricordiamo che questa formula è stata ricavata per
 - ullet Un dipolo magnetico orientato lungo l'asse x
 - Un campo magnetico non uniforme e in direzione arbitraria
- Osserviamo che
 - ullet Dentro la parentesi graffa abbiamo l'operatore abla applicato a B_x

$$\nabla B_x = \left\{ \hat{\mathbf{e}}_x \frac{\partial}{\partial x} + \hat{\mathbf{e}}_y \frac{\partial}{\partial y} + \hat{\mathbf{e}}_z \frac{\partial}{\partial z} \right\} B_x$$

- ullet Il dipolo orientato lungo x ha "selezionato" la componente B_x
 - \bullet Se avessimo scelto un dipolo lungo y o lungo z la componente del campo ${\bf B}$ interessata sarebbe stata B_y o B_z rispettivamente
 - ullet L'argomento dell'operatore abla deve pertanto essere $\mathbf{m}{\cdot}\mathbf{B}$
- Possiamo pertanto scrivere la formula nella sua forma finale

$$\mathbf{F} = \mathbf{\nabla} (\mathbf{m} \cdot \mathbf{B})$$